

## 遷移金属-ニトロシルの赤外ダイオードレーザー分光

○大槻光彦<sup>1</sup>、S. Civis<sup>2</sup>、中島基<sup>1</sup>、副島武夫<sup>1</sup>、池田誠規<sup>1</sup>、原田賢介<sup>1</sup>、田中桂一<sup>1</sup>  
九大院理<sup>1</sup>、ハイロフスキイ物理化学研究所<sup>2</sup>

○M. Ohtsuki<sup>1</sup>, S. Civis<sup>2</sup>, M. Nakashima<sup>1</sup>, T. Soejima<sup>1</sup>, S. Ikeda<sup>1</sup>, K. Harada<sup>1</sup>, K. Tanaka<sup>1</sup>  
Kyushu University<sup>1</sup>, J- Heylovsky Institute<sup>2</sup>

### 【序論】

遷移金属は触媒として用いられ、また生体内においてはさまざまな配位子が結合した化合物として存在し、ヘモグロビンや様々な酵素反応の活性中心としての役割を果たしている。また一酸化窒素(NO)は生体内ではアルギニンと酸素から合成され、ミトコンドリア内部やその他の器官において神経伝達物質としての一翼を担っている。遷移金属と一酸化窒素が生体内において化合したとき、どのような構造をとるのかということは、生体内における反応の重要なヒントとなると考えられ、分光学はもとより生化学の観点からも興味が持たれる。

CO および NO と遷移金属(Co,Fe など)との 1 対 1 錯体は、固相中および気相中で観測されている。Andrews ら<sup>[1]</sup>は遷移金属の Laser-ablation と Ar および Ne-matrix 単離法を組み合わせて、FeNO および CoNO の NO 伸縮振動を観測している。この実験では、FeNO の NO 伸縮振動は Ne-matrix 中では  $1766.0\text{ cm}^{-1}$ 、Ar-matrix 中では  $1748.9\text{ cm}^{-1}$  に観測されている。また DFT 計算より、電子基底状態を  $^2\Delta_i$  と推定している。CoNO の NO 伸縮振動は、Ne-matrix 中では  $1794.2\text{ cm}^{-1}$ 、Ar-matrix 中では  $1761.0\text{ cm}^{-1}$  に観測されている。また DFT 計算より電子基底状態を  $^1\Sigma$  と推定している。

これらの 1:1 錯体の気相中における観測も行われている。池田は<sup>[2]</sup>  $\text{Co}(\text{CO})_3(\text{NO})$  と  $\text{Fe}(\text{CO})_2(\text{NO})_2$  を光解離前駆体として、Ar-F エキシマーレーザーを用いた光解離法により CoNO および FeNO を生成し、NO 伸縮振動をダイオードレーザー分光によって観測した。CoNO 分子は観測が  $1775\text{ cm}^{-1}$ ~ $1800\text{ cm}^{-1}$  の領域で行われ、NO 伸縮振動の基本音および  $\nu_2$ ,  $\nu_3$ ,  $2\nu_2$  振動励起状態からのホットバンドが帰属されている。CoNO 分子の基底状態および振動励起状態のミリ波スペクトルと同時解析を行い、NO 伸縮振動の基本音の振動数および回転定数を  $1796.22352(27)\text{ cm}^{-1}$ 、 $4669.7578(33)\text{ MHz}$  と決定した。

FeNO 分子は観測が  $1750\text{ cm}^{-1}$ ~ $1770\text{ cm}^{-1}$  の領域で行われ、FeNO 分子の NO 伸縮振動の基本音及び  $\nu_2$  振動励起状態からのホットバンドが帰属されている。FeNO 分子の電子基底状態は  $^2\Delta_i$  であるので、基底状態は  $\Omega = 3/2$  と  $\Omega = 5/2$  に分裂しており、それについて  $\nu_1$  基本音の振動数と回転定数を、 $\Omega = 3/2$  では  $1767.26093(38)\text{ cm}^{-1}$ 、 $4610.17754(93)\text{ MHz}$ 、 $\Omega = 5/2$  では  $1758.5237\text{ cm}^{-1}$ 、 $4605.9948(26)\text{ MHz}$  と報告している。

## 【実験・考察】

$\text{Co}(\text{CO})_3(\text{NO})$  の光解離生成物である  $\text{Co}(\text{CO})(\text{NO})$  の観測を試みた。 $\text{Co}(\text{CO})(\text{NO})$  は Andrews ら<sup>[3]</sup>によって Ar-matrix 中で観測が行われており、 $1767.9\text{cm}^{-1}$  に NO 伸縮振動のスペクトルが検出された。また DFT 計算の結果から分子構造及び電子状態を  ${}^1\text{A}'$  と推定している。 $\text{Co}(\text{CO})(\text{NO})$  を観測するために、エキシマーレーザーのエネルギーと解離エネルギーの関係について検討した。Ar-F、Kr-F、Xe-F の 3 種類のエキシマーレーザーの波長からそれぞれ  $6.4\text{eV}$ 、 $5.0\text{eV}$ 、 $3.5\text{eV}$  と見積もられ、また NO および CO と Co 原子の結合エネルギーはそれぞれ  $1.42 \pm 1.0\text{eV}$ (Co-CO)、 $1.89 \pm 1.0\text{eV}$ (Co-NO) と見積もられている。これらのことより、Ar-F では光解離が CoNO まで進行するので適していないことが分かった。また Kr-F と Xe-F の 2 つを用いる場合、 $\text{Co}(\text{CO})(\text{NO})$  も十分に生成する可能性があるということが分かった。そこで実験では、よりエネルギーの低い Kr-F や Xe-F を用いたエキシマーレーザー光解離を用いることにした。まず Kr-F エキシマーレーザーを用いた場合では CoNO のスペクトルが検出された。観測されたスペクトルを Fig-1 に示す。この観測により  $v_1$  の基本音の P(32) を新しく帰属した。また Xe-F エキシマーレーザーまでエネルギーを落として観測を行った結果、CoNO のシグナルは検出できなかった。これは  $\text{Co}(\text{CO})_3(\text{NO})$  を CoNO まで光解離させるエネルギーが十分ではないということを意味しており、最初の予想とほぼ一致した。しかし  $\text{Co}(\text{CO})(\text{NO})$  のスペクトルと思われるシグナルが非常に弱かったため、 $\text{Co}(\text{CO})(\text{NO})$  のシグナルを帰属するにはできなかった。次に FeNO の  $v_3$  および  $2v_2$  ホットバンドの観測を行った。FeNO の検出には Ar-F エキシマーレーザーによる光解離が適している。観測されたスペクトルを Fig-2 に示す。強度が非常に強いシグナルは、 $v_1$  バンドと帰属された。他の未帰属のシグナルについても帰属を検討中である。

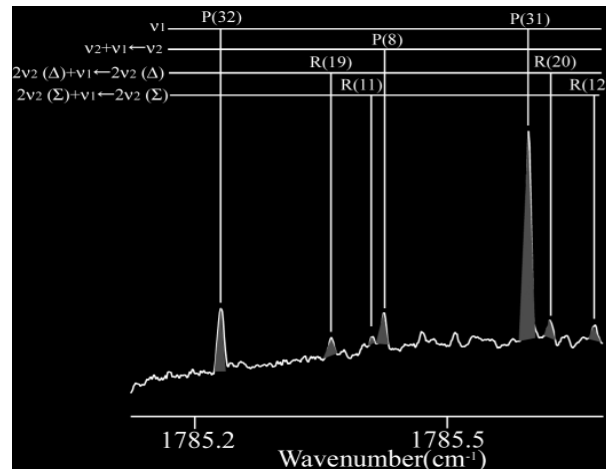


Fig-1. 観測された CoNO の赤外スペクトル<sup>[2]</sup>

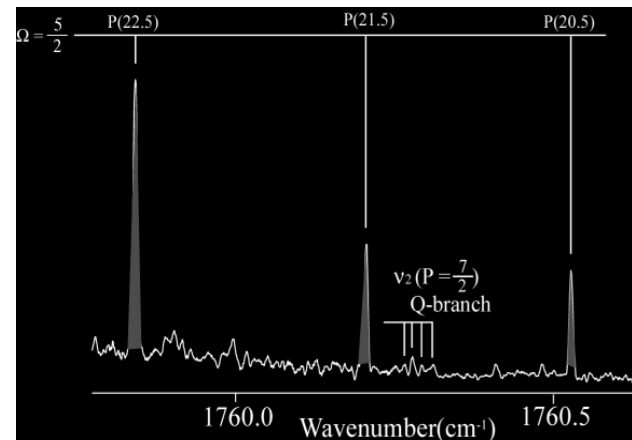


Fig-2. 観測された FeNO の赤外スペクトル<sup>[2]</sup>

[1] M. Zhou, and L. Andrews, *J. Phys. Chem. A*, **104**, 3915, (2000)

[2] S. Ikeda, 博士論文

[3] X. Wang, and L. Andrews, *J. Phys. Chem. A*, **105**, 4403, (2001)